

室蘭工業大学
正会員 梶嶋 淳
室蘭工業大学
学生員 ○河野芳宣

1. はじめに 本報告は、高含水率金属水酸化物スラリーとして水酸化オ₂鉄スラリーを用いてその圧縮沈降速度について検討し、又、中和剤の種類によるスラリーの圧縮沈降性状の相違について検討したものである。

2. 実験方法 実験は $FeCl_3$ に中和剤として NaOH 及び粉末状 $Ca(OH)_2$ を添加して生成したスラリーを用いて行なった。実験手順は次のようである。①全量が 12l となるように Fe^{3+} イオンとして濃度 1000 mg/l の $FeCl_3$ 溶液に所定量の中和剤を添加し、②回転数 250 rpm で 80 分間の攪拌を行ない水酸化オ₂鉄スラリーを生成する。③先端にビニルホースを取付けた漏斗を用いてスラリーを沈降筒の所定の高さまで底部から静かに注入する。④次いでビニルホースを筒外に静かに引出した後、約 12 時間の沈降分析を行なう。⑤さらに沈降筒を静置して 24 時間経過後のスラリー界面高を測定する。⑥その後、スラリーを容器に移して一様に攪拌し、その一部を採取して蒸発残留物および浮遊物質濃度を測定する。⑦再び、1~2 時間スラリーを静置沈降させてその上澄水を採取し、遠心分離を行なつて残留溶解オ₂鉄を測定する。沈降分析に用いた筒は壁面の影響を避けるために内径 10 cm、高さ 100 cm のアクリル樹脂製で側面にはスケールが付されている。

3. 実験結果と考察 図-1 は中和剤として NaOH 及び $Ca(OH)_2$ を用いて pH を変化させたときの沈降曲線を示したものである。又、図-2、図-3 はそれぞれ各中和剤を用いたときの 24 時間静置沈降後のスラリー界面高および図-1 から求めた等速沈降速度を示したものである。NaOH を用いた場合の沈降曲線は酸性領域では pH の増大とともに上方に移行し、pH が 6 以上になると再び下方に移る。一方、24 時間沈降界面高は pH の増大とともに大きくなり、pH 6 以上では再び小さくなる。逆に等速沈降速度は pH の増大とともに小さくなり pH 6 から 7 にかけて再び大きくなり pH 8 では若干小さくなる。 $Ca(OH)_2$ を用いた場合には沈降曲線は pH 4.8 から 5.4 にかけて急激に上方に移行し、pH 5.4 ~ 7.4 の間では pH の増大とともに下方に移り、pH 7.9 では再び上方に移る。その変化パターンは pH にずれがあるのみで NaOH の場合と同じである。24 時間沈降界面高及び等速沈降速度についても同様で $Ca(OH)_2$ では NaOH を用いた場合よりも 0.5 度 pH 側に 24 時間沈降界面高の最小値と等速沈降速度の最小値が発現するにすぎない。図-1~3 の結果から明らかなように、同一の pH であれば中和剤としては $Ca(OH)_2$ が NaOH よりも優れている。

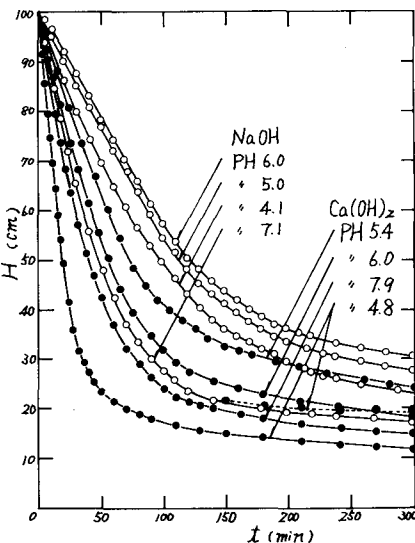


図-1 中和剤により pH を変化した時の沈降曲線

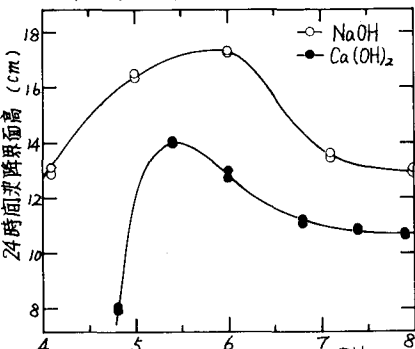


図-2 24時間沈降界面高と pH の関係

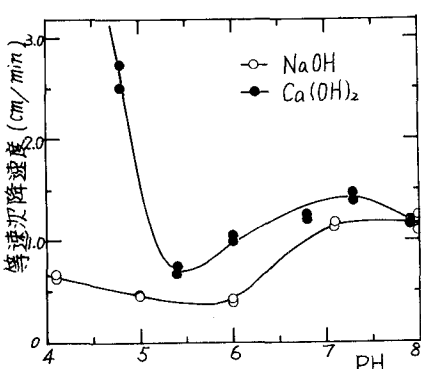


図-3 等速沈降速度と pH の関係

次に、スラリーの圧縮沈降速度について検討する。圧縮沈降速度式としてはRoberts、Rollason等による半実験式がある。図-1の結果をRoberts式、およびRollason式に従ってプロットするといづれの場合も上に凹の曲線となり成立しない。筆者等は浄水場で発生する濁質凝集スラリーに対して式-1)が成立することを示した。

$$\frac{H - H_\infty}{H_0 - H_\infty} = \left(\frac{t}{t_c} \right)^n \quad \text{又は} \quad \log \left(\frac{H - H_\infty}{H_0 - H_\infty} \right) = n \log t + K \quad \dots (1)$$

ここで、 n ；定数、 $K = \log [(H_c - H_\infty) / t_c^n]$ 、 H 、 H_c 、 H_∞ ；それぞれ任意の沈降時間、圧縮点及び無限時恒温置換後スラリー界面高、 t 、 t_c ；それぞれ任意の沈降時間及び圧縮点における沈降時間。(1)式に従って図-1の結果をプロットすると圧縮区間の後半で上に凸の曲線となり必ずしも成立しない。これは H_∞ として24時間沈降後の界面高を代用しているためと考えられる。 H_∞ としてはさらに長時間沈降後の界面高を用いる必要があろうと思われる。そこで、 H_∞ に種々の係数を乗じて $H - H_\infty$ との両対数プロットを行ない、この操作を圧縮区間全域にわたって直線が得られるまで行なう。図-4は上の操作を行ない得られた直線を示したものである。又、図-5は(1)式の係数 n 、 K をPHに対してプロットしたものである。NaOHを用いた場合にはPH 6以下では $n=0.7$ 、PH 7~8では $n=0.8$ 程度の一一定値を示す。又、 K はPH 5~7の間ではほとんど変化せずPHがこれよりも外れると小さい値を示す。一方、 Ca(OH)_2 を用いた場合にはやはりPHの増大とともに上方に凸の曲線で示されるが、PH 6~7.4では概略 $n=0.8$ 程度の一一定値を示す。又、 K はPH 7.4~8ではほぼ等しくなることを除けばと同様の変化をする。図-6は図-4の $H - H_\infty$ との両対数プロットの直線から求めた H_c 及び t_c とPHの関係を示したものである。 H_c とPHの関係は24時間沈降界面高とPHの関係、従って H_∞ とPHの関係とほぼ同様である。又、 t_c とPHの関係は等速沈降速度とPHの関係と対応する。図-7は各中和剤を用いた場合の溶解性 γ_2 鉄とPHの関係を示したものである。 γ_2 鉄は理論的にはPH 3.5以上ではほとんど沈殿して存在しないはずであるが、PH 5以下ではかなりの溶解成分が存在してPH 6以上でも0.2~0.6 ppm程度の溶解性 γ_2 鉄が存在する。これは溶解性の水酸化物と微コロイドによるものと考えられる。又、NaOHを用いた場合には再溶解によってアルカリ側で溶解鉄が再び増加する。したがって、スラリーの沈降性の上がりも残存溶解成分の上からも中性付近のPHが最適である。

4. あとがき 金属水酸化物スラリーに対して(1)式が成立し、24時間沈降界面高とPHの関係は等速沈降速度とPHの関係と比べると逆のパターンを示すことが明らかになった。今後、さらに他の中和剤を用いて沈降性状を検討したいと考えている。

参考文献 1) 穂積準：“凝聚性スラリーの圧縮沈降特性に関する研究(1)”水道協会誌、第54号、P2~16、1977.

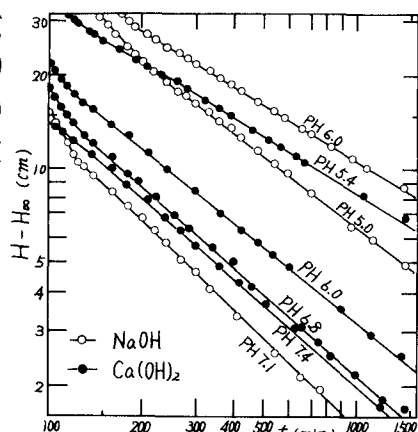


図-4 $H - H_\infty$ と t の両対数プロット

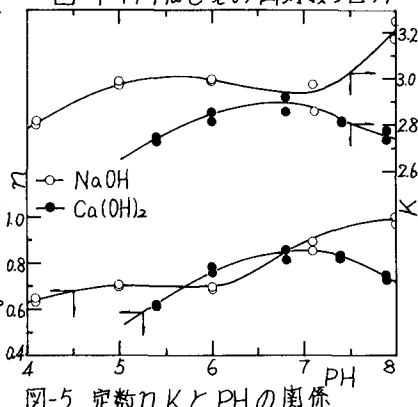


図-5 定数 n 、 K とPHの関係

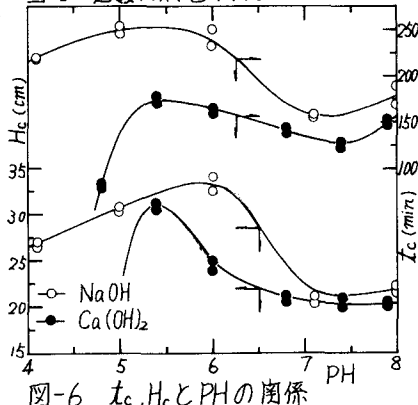


図-6 t_c 、 H_c と PH の関係

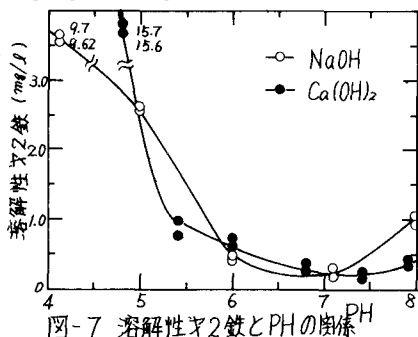


図-7 溶解性 γ_2 鉄とPHの関係